Die Sonne bringt Licht ins Dunkel - Was die Erdtemperaturen wirklich bestimmt, Teil 2

geschrieben von Leistenschneider | 28. März 2014

Teil 2: 2014, ein El Niño-Jahr (?) — El Niño und seine solaren Auslöser über die letzten 1.000 Jahre

Im **2. Teil** werden die im Teil 1 gefundenen Korrelationen mit den Daten der letzten 140 Jahre abgeglichen und dadurch gezeigt, dass auch für diesen Zeitraum die gefundenen Beziehungen und Zusammenhänge bestehen. Darüber hinaus wird ein El Niñodatenabgleich für die letzten 1.000 Jahre mit dem Hauptsonnenzyklus vorgenommen. Es wird gezeigt, dass immer dann ein El Niñoereignis stattfindet, wenn der Hauptsonnenzyklus in seiner Aktivität (nach seinem Aktivitätsminimum) wieder zu steigen beginnt. Anhand der Theorie des Autors wird anschließend dargelegt, dass Ende 2014 ein El Niño vorliegen wird, der zu Beginn 2015 sein Maximum (stärkste Ausprägung) erreichen wird.

Anhand der Abb.15 möchte der Auto die letzten 60 Jahre zeigen. Inwieweit auch für diesen Zeitraum die gefundenen Korrelationen gelten. Hier muss auf rekonstruierte Werte zurückgegriffen werden.

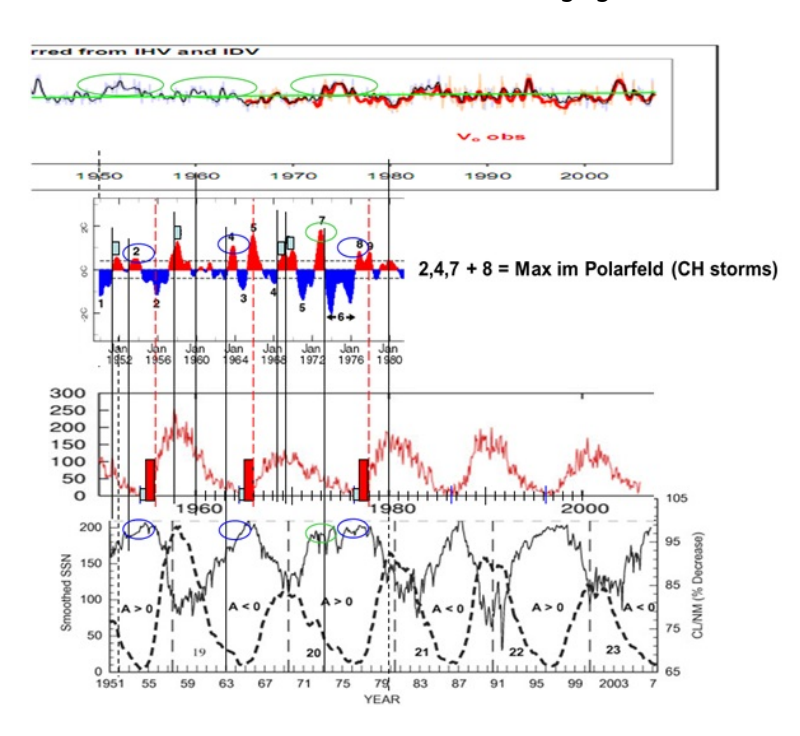


Abb.15: Alle El Niño-Ereignisse stehen auch hier in unmittelbarem Zusammenhang "ihres" solaren Parameters. Ein solarer Parameter (um 1955) steht bei den rekonstruierten Werten nicht mit einem El Niño in Beziehung.

Zwischenergebnis: Von 19 Ereignissen fallen alle mit einem solaren Maximum zusammen. Bei den rekonstruierten Werten löst ein solares Ereignis (1955) keinen El Niño aus.

Lässt sich darüberhinaus die aufgestellte Theorie des Autors anhand von Datenreihen erhärten? Hierzu schauen wir uns den Zeitraum der El Niño-Ereignisse und der solaren Parameter, die ihn auslösen, bis in die 1870-Jahre an. Allerdings handelt es sich hier, wie auch in Abb. 15, nicht um gemessene, sondern um rekonstruierte Werte, die nicht die Exaktheit und die Aussagefähigkeit, wie gemessene Ereignisse besitzen.

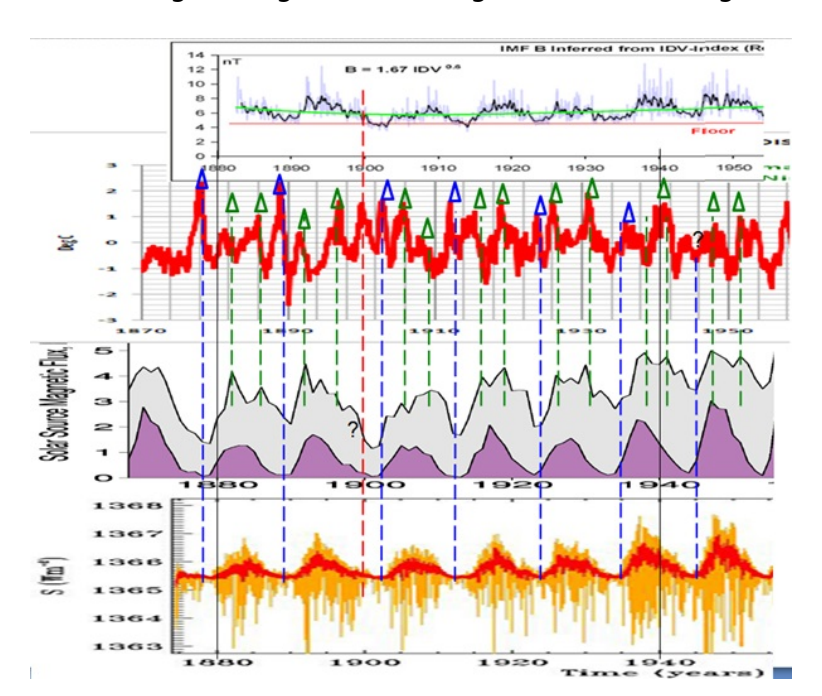


Abb.16 zeigt die Zusammenhänge bis Mitte der 1870-Jahre. Alle El Niño-Ereignisse, bis auf das Ereignis im Jahre 1900, lassen sich einem solaren Aktivitätsereignis zuordnen. Bei zwei solaren Ereignissen bleibt der El Niño aus. Der Autor hat zu seiner Untersuchung die gleichen solaren Parameter verwendet. Allerdings sind diese nicht gemessen, sondern rekonstruiert. Die Zeitreihe ganz unten zeigt den TSI, Quelle: NASA. Die NASA schreibt hierzu auf ihrer Internetseite, dass der TSI aus einem eigenen, physikalischen Modell entwickelt wurde und die Abbildung von der University of Montreal stammt. Die Zeitreihe darüber zeigt den Total flux, Quelle: "A Doubling of the Sun's Coronal Magnetic Field during the Last 100 Years", M. Lockwood, R. Stamper, and M.N. Wild, Nature Vol. 399, 3.Juni 1999.

Lässt sich der El Niño von 1900 wirklich keinem solaren Ereignis zuordnen?

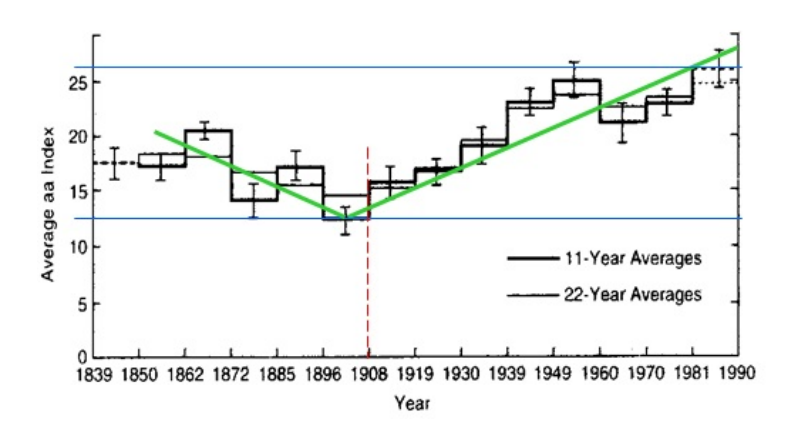


Abb.17 stammt aus der Arbeit von Russell und T. Mulligan (Institute of Geophysics and Planetary Physics, University of California) "The 22-year Variation of Geomagnetic Activity: Implications for the Polar Magnetic Field of the Sun", Geophysical Research Letters, 22, 3287-3288, 1995.

Abb.17 zeigt den geomagnetischen aa-Index von 1850 — 1990. In 1900 beginnt die magnetische Aktivität der Sonne wieder anzusteigen (grüne Trendlinie) und erreicht zum ausgehenden 20. Jahrhundert ihren Höhepunkt. Dabei steigt der aa-Index um 100% (blaue waagerechte Linien), was Rückschlüsse auf den starken Anstieg der solaren Aktivität zulässt. Der Anstieg verläuft synchron zum Hauptsonnenzyklus, den im Mittel 208-jährigen de Vries/Suess-Zyklus. Er reduzierte dabei die kosmische Strahlung im gleichen Zeitraum um ca. 15%.

Diese Arbeit soll mit einer anderen, die ebenfalls den Verlauf des Hauptsonnenzyklus, den im Mittel 208-jährigen de Vries/Suess-Zyklus, zeigt, verglichen werden (Abb.18).

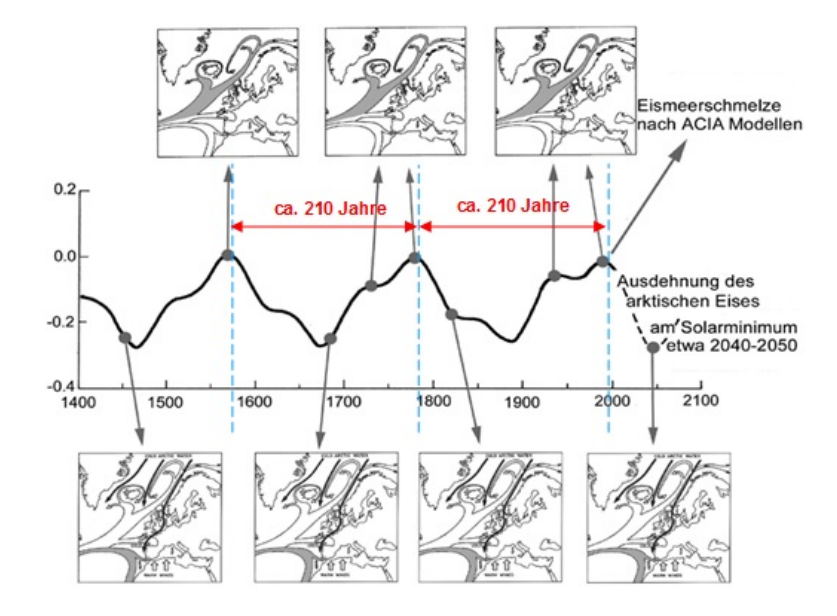


Abb.18 zeigt natürliche Schwankungen auf die Meeresströmungen im Nordatlantik und somit auf den Golfstrom, Quelle: Dr. Axel Mörner, "Keine Gefahr eines globalen Meeresspiegelanstiegs". Die Abbildung wurde vom Autor um den de Vries/Suess-Sonnenzyklus (Zeiten) ergänzt. Zu sehen ist die arktische Eisentwicklung in Verbindung mit den vorherrschenden

Meeresströmungen in Relation zum Hauptsonnenzyklus (de Vries-Suess-Zyklus). Sowohl die arktische Eisbedeckung, als auch das Muster der Meeresströmungen folgt dem im Mittel 208-jährigen de Vries-Suess-Zyklus. Bei Sonnenminima erleben Nordwesteuropa, der Nordatlantik und die Arktis Kaltphasen. Die Abbildung zeigt weiter, dass für die nächsten 30 – 40 Jahre eine arktische Eisausdehnung und keine Eisschmelze zu erwarten ist.

Abb.18 zeigt, dass der Hauptsonnenzyklus Ende der 1890-Jahre sein Minimum erreichte und die solare Aktivität im Hauptsonnenzyklus in 1900 wieder zunimmt, was einen El Niño ausgelöst haben könnte. Haben solare Gesetzmäßigkeiten, die auf kleinen Skalen auftreten, auch auf großen Skalen ihre Gültigkeit?

Vom Schwabe-Zyklus ist bekannt (Friis-Christensen, E. & Lassen, K.: Length of the solar cycle: an indicator of solar activity closely associated with climate. Science 254 (1991), 698) dass, je länger sein Zyklus ist, umso schwächer die solare Aktivität im selben Zyklus. Dieser Zusammenhang auf kleinen Skalen ist ebenfalls auf großen Skalen zu beobachten. Auch beim Hauptsonnenzyklus und seiner Oberschwingung, dem Hallstatt-Zyklus verhält sich die Zyklusdauer analog zur Sonnenaktivität, d.h. je schwächer der Hallstatt-Zyklus, desto länger seine Zyklusdauer.

Die Sonne scheint sich bei Auslösen eines El Niño-Ereignisses auf großen Skalen auch hier gleich zu verhalten, wie auf kleinen Skalen. Der Autor hat gezeigt, dass mit jedem Anstieg der solaren Aktivität im Schwabe-Zyklus, ein El Niño-Ereignis ausgelöst wird. Dies scheint auf großen Skalen gleich zu sein. Steigt die solare Aktivität im Hauptsonnenzyklus an, löst dies (den El Niño von 1900) einen El Niño aus. Anhand eines Ereignisses kann noch keine Korrelation hergestellt werden, daher soll die These weiter geprüft werden. Abb.18 zeigt eine Übersicht historischer El Niño-Ereignisse.

El Niño, 1 1273 1269 1264/5 1258 1254 1252 1246 1246 1232+ 1227 1225 1225 1221	Le Nine	a even	te, Dun Dy	NOT MAD	The con-	data	Pawiel	1996	
1273	12/3	1249	1032-	1000	1004	Oata			
1269	1255	1200	1027/8*	1029	1024				
1264/5	1254	1523	1000	1010	1020				
1259			1018+	1019					
1254	1254		1014		115/17				
1252		1249	1011	1009	1008				
1246		1247	1005+		1004				
1244	1243	1245	1003						
1236		1241	990	997	999				
1236 1232* 1227 1225 1221 1218*	1232	1235	995+		991				
1227		1231	910+	988	907				
1225		1228	983/4+		982				
1221		1226	981+						
1218+	1218	1222	979	979	977				
1217+		1219	975		974				
1215		1210	972		968				
1208	1207	1204	983/4+ 981+ 979 975 972 969+		966				
1199/1200	1199		967	967					
1196	2000	1197	364		942				
12218- 12218- 12218- 12218- 12218- 12218- 12218- 12218- 12218- 12218- 12218- 12218- 12218- 12218- 12228- 12		1195	961						
1189	1109	1190	957/9	957					
1186	2100	1183	95475	201					
1133	1177	1170	95475		950				
2277	2211	1173	545	0.17	946				
11/6		11/0	04373	244	040				
1166	1107	1107	94273		033				
1166-7+	1167	1163	936		9.37				
1156/7	1157	1158	935	930	936				
1151+		1155	929/30						
1140	1147	1149	926						
		1145	924+	924					
1137	1136	1143	920-		917				
1133		1136	919-		915				
	113	0/31	916+		912				
1126/7	1126	1128	913	913	908				
1123	11	16/7	910		905				
1115	1115	1114	906/7		901				
		1112	902/3	902	896/7				
	110	8/10	899/90		894				
1103	1103	1105	890	890	890/1				
1098		1099	883	882	884				
1093		1094	878		881				
1090	1090	1087	872/3	872	870				
1083	1083	1084	868		864				
1077/8	107	9.783	845		861				
1070	1020		862	862	85679				
1067	2010		0.60	245	854				
1064		100	85.0	481	851				
1000	1000	1054	030/0	634	0.42				
1009*	1000	1004	939/9	0.75	442				
1000	100	207.1	0.55*	4.00	0.03				
1953*	1052	1047	629/30	927	931				
1048			625+		926				
1043/4	10	61/2	623+		822				
1039	1039	1038	818/9		850				
1035		1034	end Germ	en Oak	data				

El Miño,	La Mil	la even	te, Sun Spo					
			1790/3+		1792	1509	1510	1511
El Niño				1784				1507
years			1778		2773	1504	1500	
(* = str			1772	1776	1771	1500 1500 1497/8	1500	1494
(- = weal	K event)	1765	1765	1767	1497/8	1491	
			1764+ 1762+ 1754+ 1743+ 1737+		1760	1492+	1471	
1996		1995	1162+		1758	1492	1479	
1992		1993	1754+	1754	1749	247475	14/2	
1987+		1905-	71474	7144	1145	741413	1468	
1982/3++		1981	1737+		1726	1464-	1463	1470
1978		1341		1732			1457	1463
	1975	1074	1770	1132		1453	240.	
1972/3+	1979	1973	1729 1728 1727*		1221	1450		1451
1970		1971	17274		1770	1446+	1446	
1966		1965	1727*	1723	1124	1442		
1965+	1964	1990	1710+	1723			1434	
1958	1300	1959	1719+ 1715/6 1712		1214	1431	2454	
	1954		171376	1212	1710	1426		1423
1951	1334	1950	1707	4.14	2.20	14224	1422	
1947		1949	1703-		1702		14	
1945+	1044	1946	1658	1700	1695	1413		
1940/1+	1344	1943	1698/5+	1,100	1693	1413 1407+	2440	1409
1936-		1939	1690	1690	1688	1400/01	1400	
1933+	1033	1932	1684+	1000	1683	1399/7		
1929/30			1679-	1679	1680	1390	1390	
1925/6+		1727	16694	1669	1671	1382		
1924/3+		-4	1684+ 1679- 1669+ 1661++				13	83/5
	1.74.7	1921	1659/60	1657	- 0		1380	1380
1915		1917	1652+					1374
1912/3	1912		1650		1649		1371	1368
1905		1906	1645+		1643	1364		1366
1903+	1903		1641			1362/1		1359
1899/00+		1900	1636+	1637	1632	1360	1360	
1896		1895	1630/2	1637	1625	1351	1351	
1891+	1890	1892	1621+	1621	1617			1346
1888		1887	1611+"	1615	1615			1343
1885		1884	1602-		1610		1339	
1877/8+	1877	1879	1600+		1605	1338+		1339
1869		1876	1589/90	1589	1597			1337
1867+		1074	1582/3		1594			1333
1864	1865	1772	1575/6		1581			1330
1856+	1857	1860	1566/8++		1574			
1853		1855	1559/60		1568		1319	
1844/6+	1843	1849	1550-	1555	1561			1302
1836-		1840	1547+		1556	1309		
1832/3	1834	1833	1542	1542	1551	1307 1296	1307	
1827/8		1828	1538+		1543	1296	1296	
1821/2	1823	1821	1533-	1533	1539	1294		1291
1817		1818	1529		1527			1287
1810	1810	1809	1525+		1524		1285	
1802/4		1803	1523		1520	1281		
1798/9		1799	1517+		1518	1278		1274
1795		1797	1513		1516			1271

Abb.19, zeigt eine Auflistung historischer El Niño/La Niña-Ereignisse über die letzten 1.000 Jahre, Quelle: http://nexialinstitute.com/climate_el_nino.htm

Nach den Arbeiten von Prof. Mörner (Abb.18) hatte der Hauptsonnenzyklus ca. 1670 und 1465 sein Minimum und drehte dann in seiner Aktivität.

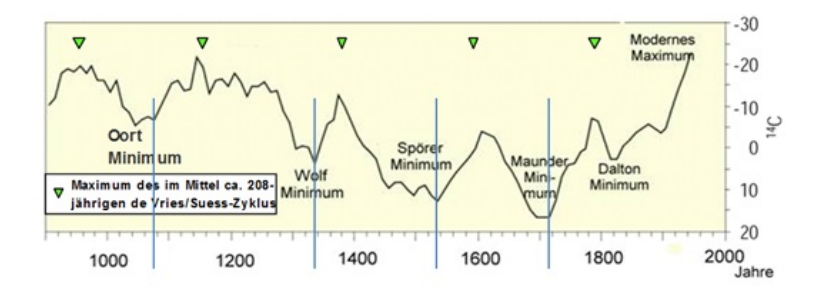


Abb.20 zeigt den C14-Proxy, der als Maß der solaren Aktivität steht über die letzten 1.100 Jahre, Quelle: United States Geological Survey. Der Autor hat dazu die Minima (blaue Linien) eingezeichnet, an denen sich der Verlauf umkehrt, also die Sonnenaktivität wieder zunimmt. Die Minima sind identisch mit den Minima der solaren Aktivität und wie die Zykluszeit unschwer erkennen lässt, den Hauptsonnenzyklus darstellen. Die Minima liegen bei ca. 1078, 1338, 1538 und 1718.

Jetzt werden diese Daten mit der Auflistung in Abb.19 verglichen (Abb.21).

El Niño,	La Nii	a even	ts, Sun Spo	ot Min	imum	J. H. L. L			El Niño, 1	La Nii	a ever	nts, Sun Spot	Min	imum
			1790/3+		1792	1509	1510	1514	1273	1273	1268	1032-		
El Niño	Solar	La	1783/4+	1784	1785	1506+		1511	1269		1266	1027/8+	1028	1024
		m Nina	1778		1773	1504		1507	1264/5	1264		1022		1020
(+ = stro			1772	1774		1500	1500	1501	1258				1019	
(- = weak			1765	1765	1767	1497/8		1494	1254	1254		1014	10	15/1
1997/8(++			1764+		1760	1492+	1491		1252		1249		1009	
1996	,	1995	1762+		1758	1482		86/8	1246		1247	1005+		1004
1992		1993	1754+	1754	1749	1479+	1479		1244	1243		1003		
1987+	1986		1743+		1742	1474/5		1477	1236	1543	1241		997	999
1982/3++	1300	1985-	1737+	Tidd	1734	1468+	1468		1232+	1232		995+		991
		1981	1735		1726	1464-	1463		1227	1232	1231		988	987
1978		1391	1732	1732	1/20	1459+	1457		1225		1228	983/4+	300	982
1977				1/32		1453	1437	1454			1226	981+		302
1976+	1975	1974	1729		1721	1450		1451	1221	1218			979	977
1972/3+		1973	1728				1446		1218+	1218		975	9/9	974
1970		1971	1727+		1720	1446+	1440	1439	1217+		1219			968
1966		1965	1723-	1723		1442	1424		1215		1210	972		
1965+	1964		1719			1434+	1434		1208	1207		969+		966
1958		1959	1715/6		1714	1431		1428	1199/1200	1199			967	
1954+	1954	1955	1712	1712	1710	1426		1423	1196		1197	964		962
1951		1950	1707			1422+	1422		1194		1195	961		
1947		1949	1703-		1702			15/18	1189	1189			957	
1945+	1944	1946	1698	1700	1695	1413	1413		1186		1182	954/5		
1940/1+		1943	1694/5+		1693	1407+		1409	1177	1177		949		950
1936-		1939	1690	1690	1688	1400/01	1400		1172		1173		944	946
1933+	1933	1932	1684+		1683	1398/7		1402	1168		1169	942/3		940
1929/30		1929	1679-	1679	1680	1390	1390		1166-7+	1167		938		937
1925/6+			1669-	1669	1671	1382		1391	1156/7	1157	1158		935	936
1924/5+	1923	-4	1661++				13	83/5	1151+		1155	929/30		
1919/20		1921	1659/60	1657	-8	1379	1380	1380	1148	1147	1149	926		
1915		1917	1652+		1654	1371/2		1374			1145		924	
1912/3	1912	1909	1650	1647	1649	1367	1371		1137	1136	1143	920-		917
1905		1906	1645+	-	1643	1364		1366	1133		1136	919-		915
1903+	1903	1904	1641		2343	1362/1		1359		11	30/31	916+		912
1899/00+	1903	1900	1636+	1627	1632	1360	1360		1126/7		1128		913	908
		1895	1630/2		1625	1351	1351		1123		116/7	910	-	905
1896	1000	1892	1630/2		1617	1331	1331	1346	1115		1114	906/7		901
1891+	1890	1892	1611+		1615			1343	2223	2210	1112		902	896
1888				1012	1610	1340	1339				08/10	899/90	-02	894
1885	1000	1884	1602-	1500	1605	1338	1339	1339	1103		1105		890	890
1877/8+	1877	1879	1600+			13309		1337	1098	1103	1099		882	884
1869		1876	1589/90	1589	1597	1220			1098		1094	878	200	881
1867+		1874	1582/3		1594	1329		1333	1093	1000	1094		872	870
1864		1772	1575/6		1581		****	1330	1090				6/2	
1856+	1857	1860	1566/8++	1565	1574	1326	1326				1084	868		864
1853		1855	1559/60		1568	1319	1319		1077		79/81	865	0.00	861
1844/6+	1843	1849	1550-	1555	1561	1311		1302	1070	1070		862	862	856
1836-		1840	1547+		1556	1309			1067			860		854
1832/3	1834	1833	1542	1542	1551	1307	1307		1064		1061		851	851
1827/8		1828	1538		1543	1296	1296		1059+		1054		838	842
1821/2	1823	1821	1533-	1533	1539	1294		1291	1055		050/1	835+		833
1817		1818	1529		1527	1288/9		1287	1053+	1052	1047		827	831
1810	1810	1809	1525+	1522	1524	1285	1285	1283	1048			825+		826
1802/4		1803	1523		1520	1281		1279	1043/4		041/2	823+		822
1798/9	1797	1799	1517+		1518	1278		1274	1039	1039	1038	818/9		820
1795	4.31	1797	1513		1516			1271	1035		1034	end German	Oak	data

Abb.21: Sowohl die Wechsel in der solaren Aktivität aus den Arbeiten von Prof. Mörner (Abb.18, die Jahre 1670 und 1465), als auch die Wechsel in der Aktivität aus Abb.19 (United States Geological Survey, die Jahre 1718, 1538, 1338 und 1077) fallen exakt mit einem El Niño-Ereignis zusammen.

Daraus lässt sich der Schluss erhärten, dass zu den bereits drei gefunden solaren Parametern, die einen El Niño auslösen, ein vierter Parameter kommt:

4. Zu jedem Aktivitätswechsel im Hauptsonnenzyklus, den im Mittel 208jährigen de Vries/Suess-Zyklus wird ein El Niño ausgelöst, wenn die solare Aktivität im Hauptsonnenzyklus ihr Minimum durchlaufen hat und

wieder ansteigt.

Anhand der Untersuchungsergebnisse ist festzustellen dass alle 40 El Niño-Ereignisse im Untersuchungszeitraum der letzten 140 Jahre durch einen solaren Parameter ausgelöst werden. Bei der solaren Aktivität bleiben bei den rekonstruierten Werten zwei El Niño aus. Im Zeitraum der gemessenen Werte bleibt kein solares Ereignis, ohne "seinen" El Niño ausgelöst zu haben. Der El Niño tritt dabei in einem exakten Zeitfenster nach der solaren Aktivitätserhöhung/solarem Maximum ein. Genau 11 Monate danach.

Aus diesen Gründen geht der Autor davon aus, dass sich Ende 2014/Anfang 2015 ein El Niño-Ereignis einstellen wird und zwar deswegen, weil die Sonne genau jetzt ihr magnetisches Maximum im 24. Schwabe-Zyklus hat (Abb.22). Jedes gemessene magn. Maximum hat im Untersuchungszeitraum "seinen" El Niño ausgelöst. Dass die Physiker Armin Bunde und Josef Ludescher von der Universität Gießen anhand ihrer Studie (veröffentlicht im US-Fachjournal "Proceedings of the National Academy of Sciences") unabhängig zu dem gleichen Ergebnis gelangen, erfreut natürlich den Autor. Dabei schreiben die Physiker "Jetzt geben wir bekannt, dass unser Verfahren bereits im September 2013 die Wiederkehr von El Niño im Spätjahr 2014 erkennen ließ." Der Autor hat bereits im Januar 2011 bekannt gegeben, wann und wie El Niños auftreten. Er ließ dies nicht nur "erkennen", sondern hat klar die Aussage abgegeben.

Während die Gießener Physiker angeben "die Wahrscheinlichkeit, mit der ein El Niño noch in diesem Jahr eintritt, liege bei 76 Prozent", konnte der Autor zeigen, dass alle El Niño in den letzten 140 Jahren durch "ihren" solaren Parameter ausgelöst wurden. Dies ist eine Trefferquote von 100%. Werden die beiden solaren Ereignisse, die keinen El Niño auslösten, mit einbezogen, so liegt die Wahrscheinlichkeit bei 96%. Inwieweit beide Fraktionen Recht behalten, wird sich Ende 2014 zeigen.

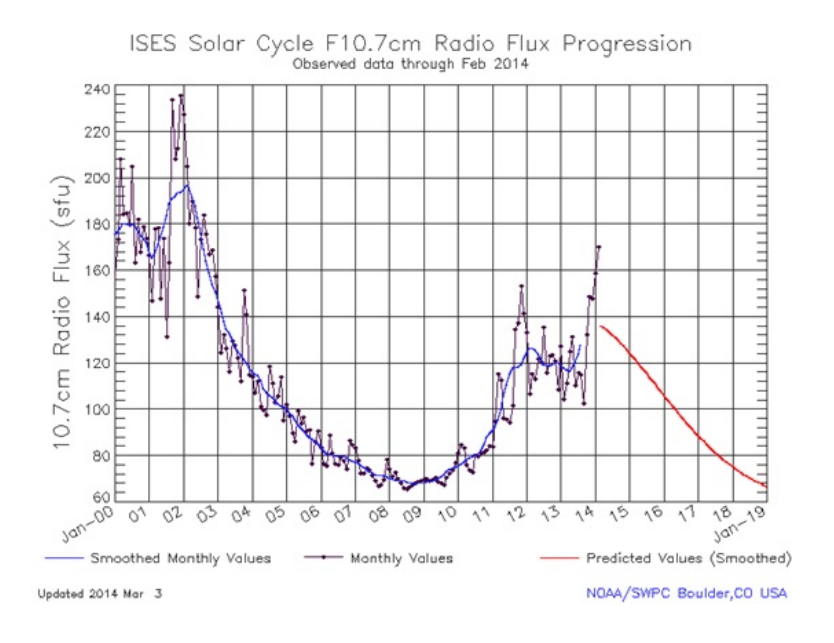


Abb.22 zeigt den gegenwärtigen 24. Schwabezyklus,

Quelle:http://www.solarham.net/ Das magnetische Maximum liegt in 02/14. Anhand der Untersuchungen des Autors wird demnach 11 Monate später, in 01/15, der El Niño voll ausgeprägt sein und sein Maximum erreichen.

Raimund Leistenschneider - EIKE